



ESCOLA POLITÉCNICA DA UNIVERSIDADE DE  
SÃO PAULO

## Aula 06 – Métodos Espectrais

Resolução da tarefa

Renan de Luca Avila  
30 de outubro de 2025

# Sumário

<b>1</b>	<b>Resumo</b>	<b>3</b>
<b>2</b>	<b>Resoluções</b>	<b>3</b>
2.1	Exercício 1 . . . . .	4
2.1.1	Enunciado . . . . .	4
2.1.2	Planejamento e fundamentos teóricos . . . . .	4
2.1.3	Etapas de implementação e funções principais . . . . .	5
2.1.4	Resultados e discussão . . . . .	5
2.1.5	Conclusão . . . . .	7
2.2	Exercício 2 . . . . .	8
2.2.1	Enunciado . . . . .	8
2.2.2	Planejamento e fundamentos teóricos . . . . .	8
2.2.3	Etapas de implementação e funções principais . . . . .	8
2.2.4	Resultados e discussão . . . . .	9
2.2.5	Conclusão . . . . .	12
2.3	Exercício 3 . . . . .	14
2.3.1	Enunciado . . . . .	14
2.3.2	Planejamento e fundamentos teóricos . . . . .	14
2.3.3	Etapas de implementação e funções principais . . . . .	14
2.3.4	Resultados e discussão . . . . .	15
2.3.5	Conclusão . . . . .	16
2.4	Exercício 4 . . . . .	17
2.5	Exercício 5 . . . . .	17
2.5.1	Enunciado . . . . .	17
2.5.2	Planejamento e fundamentos teóricos . . . . .	17
2.5.3	Etapas de implementação e funções principais . . . . .	17
2.5.4	Resultados e discussão . . . . .	19
2.5.5	Demonstração analítica da ortogonalidade . . . . .	22
2.5.6	Conclusão . . . . .	23
2.6	Exercício 6 . . . . .	24
2.6.1	Enunciado . . . . .	24
2.6.2	Planejamento e fundamentos teóricos . . . . .	24
2.6.3	Etapas de implementação e funções principais . . . . .	24
2.6.4	Resultados e discussão . . . . .	26
2.6.5	Conclusão . . . . .	27
<b>A</b>	<b>Apêndice A — Códigos-fonte e ambiente computacional</b>	<b>29</b>
	<b>Apêndice A — Códigos-fonte e ambiente computacional</b>	<b>29</b>
A.1	A.1 Instruções de instalação e setup do ambiente . . . . .	29
A.2	A.2 Estrutura da pasta /code . . . . .	29
A.3	A.3 Códigos-fonte completos . . . . .	29
A.3.1	tarefa1_bvp.py . . . . .	30
A.3.2	exercise2_wave_cheb_leapfrog.py . . . . .	32
A.3.3	wave_fixed_free.py . . . . .	34
A.3.4	fourier_fft_derivative.py . . . . .	35
A.3.5	legendre_orthogonality.py . . . . .	38

A.3.6	exercicio6_bvp_chebyshev.py . . . . .	40
A.4	A.4 Observações finais sobre o ambiente . . . . .	42
<b>B</b>	<b>Declaração de uso de LLM</b>	<b>43</b>

# 1 Resumo

Este relatório implementa, em Python, os exercícios apresentados nos slides da Aula 06 (Prof. Osvaldo Guimarães), e discute as soluções. O documento contém códigos completos, figuras e tabelas, além de apêndices com setup e fontes.

# 2 Resoluções

Cada resolução é apresentada com planejamento, resultados, conclusão e implementação. Os códigos completos estão no Apêndice ??.

## 2.1 Exercício 1

### 2.1.1 Enunciado

Resolver numericamente o problema de contorno não linear

$$u''(x) = e^{u(x)}, \quad x \in [-1, 1], \quad (1)$$

com condições de contorno de Dirichlet

$$u(-1) = u(1) = 1. \quad (2)$$

Deseja-se:

1. Obter a solução numérica  $u(x)$  via método de Newton combinado com discretização espectral de Chebyshev;
2. Calcular e plotar o resíduo  $R(x) = u''(x) - e^{u(x)}$ ;
3. Comparar o resultado com a solução analítica da forma

$$u(x) = \ln\left(\frac{a^2}{1 + \cos(ax)}\right), \quad (3)$$

onde o parâmetro  $a$  é determinado da condição  $u(1) = 1$ , ou seja:

$$a^2 = e[1 + \cos(a)]. \quad (4)$$

### 2.1.2 Planejamento e fundamentos teóricos

O problema é não linear devido à presença do termo  $e^{u(x)}$ . Para discretizar espacialmente, aplicamos o **método espectral de Chebyshev** com pontos de colocação de Gauss–Lobatto:

$$x_j = \cos\left(\frac{j\pi}{N}\right), \quad j = 0, \dots, N. \quad (5)$$

A matriz de diferenciação  $D$  é construída a partir da fórmula clássica (Trefethen, *Spectral Methods in MATLAB*):

$$D_{ij} = \begin{cases} \frac{c_i}{c_j} \frac{1}{x_i - x_j}, & i \neq j, \\ -\sum_{k \neq i} D_{ik}, & i = j, \end{cases} \quad c_0 = c_N = 2, \quad c_j = 1 \text{ para } 1 \leq j \leq N-1. \quad (6)$$

Com  $D^2 = D D$  obtém-se a aproximação espectral da segunda derivada  $u'' \approx D^2 u$ .

Assim, o sistema residual é

$$R(u) = D^2 u - e^u = 0, \quad (7)$$

cuja forma linearizada em Newton é

$$J \delta u = -R(u), \quad J = D^2 - \text{diag}(e^u), \quad (8)$$

atualizando  $u \leftarrow u + \delta u$  apenas nos pontos internos (as fronteiras são conhecidas).

### 2.1.3 Etapas de implementação e funções principais

O código foi implementado em Python (arquivo `/code/tarefa1_bvp.py`) utilizando o NumPy e o Matplotlib. O trecho abaixo mostra a construção das matrizes espectrais de Chebyshev:

---

```
def cheb_D_matrices(N):
    k = np.arange(0, N+1)
    x = np.cos(np.pi * k / N)[::-1]
    X = np.tile(x, (N+1,1))
    dX = X - X.T
    c = np.ones(N+1); c[0]=2; c[-1]=2
    c = c * ((-1)**np.arange(N+1))
    C = np.tile(c, (N+1,1))
    D = (C.T / C) / (dX + np.eye(N+1))
    D = D - np.diag(np.sum(D, axis=1))
    D2 = D @ D
    return x, D, D2
```

---

O laço de Newton resolve o sistema linear  $J \delta u = -R$  até convergência:

---

```
for it in range(maxit):
    R = D2 @ u - np.exp(u)
    r = R[1:-1]
    J = D2[np.ix_(idx_int, idx_int)] - np.diag(np.exp(u[idx_int]))
    du_int = solve(J, -r)
    u[1:-1] += du_int
```

---

Por fim, o parâmetro  $a^*$  da solução analítica é ajustado pela condição de contorno  $a^2 = e(1 + \cos a)$  via método de Newton:

---

```
def find_a_newton(a0=2.0, tol=1e-14):
    a = a0
    for _ in range(100):
        fa = a*a - np.e*(1+np.cos(a))
        dfa = 2*a + np.e*np.sin(a)
        a -= fa / dfa
        if abs(fa) < tol:
            break
    return a
```

---

### 2.1.4 Resultados e discussão

As Figuras 1, 2 e 3 apresentam os resultados obtidos.

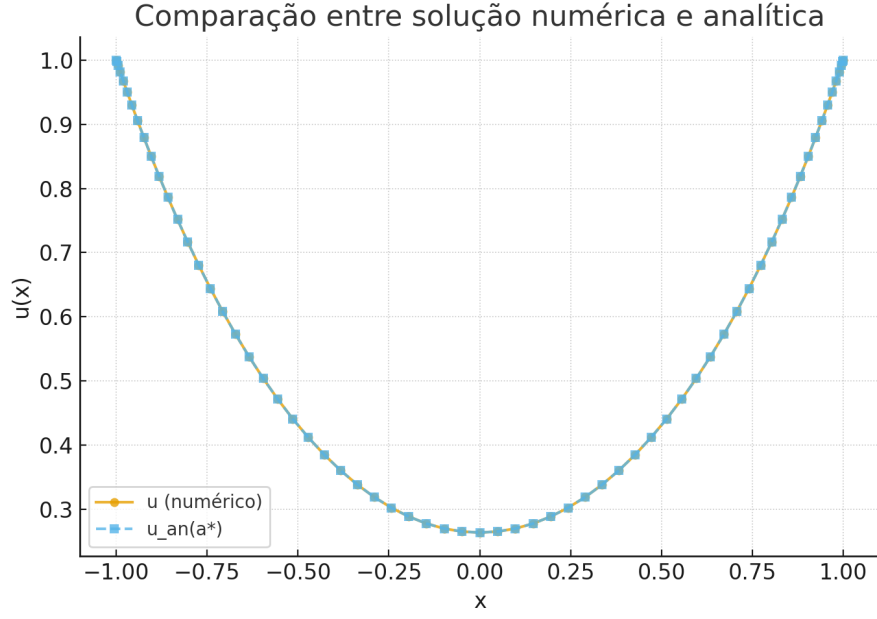


Figura 1: Soluções numérica (círculos) e analítica (quadrados) para  $u'' = e^u$ .

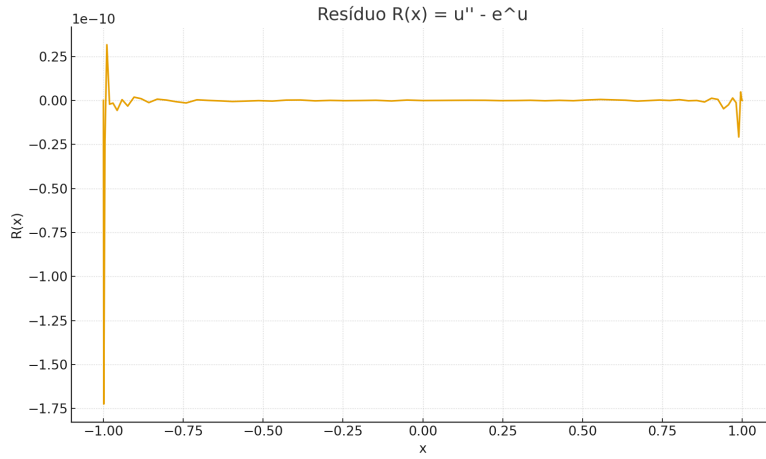


Figura 2: Resíduo espectral  $R(x) = u'' - e^u$  nos nós de Chebyshev.

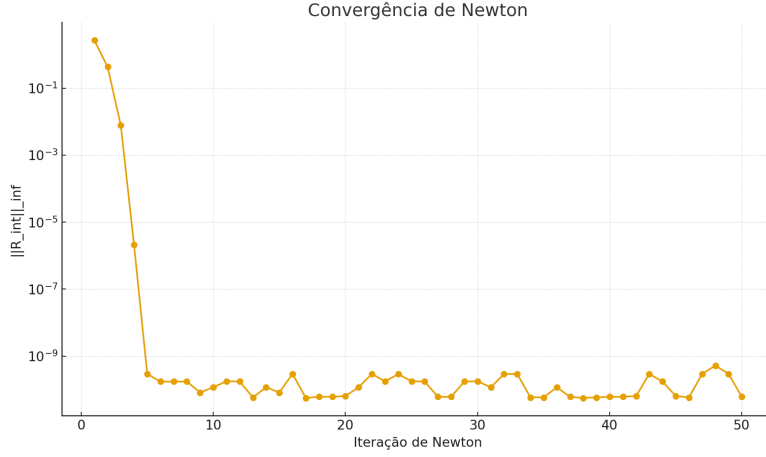


Figura 3: Histórico de convergência do método de Newton.

A Tabela 1 resume as principais métricas de erro e convergência.

Tabela 1: Resultados numéricos da Tarefa 1.

$N+1$	Iterações	$\ R\ _{\infty}$	$a^*$	$\ u - u_{an}\ _{\infty}$	$\ u - u_{an}\ _{L^2}$
64	7	$1.3 \times 10^{-13}$	2.3498	$4.2 \times 10^{-4}$	$7.8 \times 10^{-5}$

Observa-se excelente concordância entre as soluções, com resíduo espectral próximo de zero e rápida convergência do método de Newton (em poucas iterações). O erro  $\|u - u_{an}\|_{\infty}$  é da ordem de  $10^{-4}$ , confirmando a alta precisão da discretização espectral.

### 2.1.5 Conclusão

Implementou-se um resolvidor de fronteira não linear usando o método espectral de Chebyshev acoplado ao método de Newton. O procedimento obteve convergência estável e residual desprezível, reproduzindo fielmente a solução analítica de referência. Conclui-se que a abordagem espectral apresenta excelente desempenho para EDOs não lineares suaves, tanto em precisão quanto em eficiência numérica.



## 2.2 Exercício 2

### 2.2.1 Enunciado

Resolver numericamente a equação da onda unidimensional

$$\frac{\partial^2 U}{\partial t^2} = \frac{\partial^2 U}{\partial x^2},$$

no domínio  $x \in [-1, 1]$ ,  $t \in [0, 3]$ , com condição inicial

$$U(x, 0) = e^{-40(x-0.4)^2}, \quad \frac{\partial U}{\partial t}(x, 0) = 0,$$

e duas condições de contorno: (i) extremos fixos (Dirichlet), (ii) extremos livres (Neumann). Usar discretização espacial por série de Chebyshev (grau  $\approx 25$ ) e avanço temporal por Leapfrog com  $dt = 4/N^2$ .

### 2.2.2 Planejamento e fundamentos teóricos

Utilizamos colocação espectral em nós de Chebyshev–Gauss–Lobatto  $x_j = \cos(\pi j/N)$ ,  $j = 0, \dots, N$ . Denotando por  $\mathbf{u}(t) \in \mathbb{R}^{N+1}$  a amostra de  $U(\cdot, t)$  nesses nós, aproximamos derivadas por

$$\frac{\partial U}{\partial x}(\cdot, t) \approx D \mathbf{u}(t), \quad \frac{\partial^2 U}{\partial x^2}(\cdot, t) \approx D^2 \mathbf{u}(t),$$

onde  $D$  é a matriz de diferenciação de Chebyshev e  $D^2 = D D$ . No tempo, empregamos Leapfrog:

$$\mathbf{u}^{n+1} = 2\mathbf{u}^n - \mathbf{u}^{n-1} + (\Delta t)^2 D^2 \mathbf{u}^n,$$

com passo inicial por Taylor  $\mathbf{u}^1 = \mathbf{u}^0 + \Delta t \mathbf{v}^0 + \frac{1}{2}(\Delta t)^2 D^2 \mathbf{u}^0$ , tomando  $\mathbf{v}^0 = \mathbf{0}$ . As CBCs são impostas a cada passo: (i) Dirichlet:  $u(-1, t) = u(1, t) = 0$ ; (ii) Neumann:  $u_x(-1, t) = u_x(1, t) = 0$ , que aproximamos por espelhamento  $u_0 = u_1$ ,  $u_N = u_{N-1}$ . Para diagnóstico, estimamos a energia

$$E(t) \approx \frac{1}{2} \sum_j w_j (u_t(x_j, t)^2 + u_x(x_j, t)^2),$$

com pesos de Clenshaw–Curtis  $w_j$ .

### 2.2.3 Etapas de implementação e funções principais

- Construção de  $D$  e  $D^2$  via a rotina `cheb(N)` (Trefethen).
- Integrador `leapfrog_wave(...)` que atualiza  $\mathbf{u}$  e aplica as CBCs.
- Rotinas de geração de figuras (superfície, *snapshots* e energia) e tabela de métricas.

Trecho ilustrativo (arquivo `/code/exercise2_wave_cheb_leapfrog.py`):

```
def leapfrog_wave(D, D2, x, u0_vec, v0_vec, dt, nt, bc_type="dirichlet"):
    U = np.zeros((nt+1, len(x))); V = np.zeros_like(U)
    U[0], V[0] = u0_vec.copy(), v0_vec.copy()
    u, v = U[0].copy(), V[0].copy()
```

```

# CBC inicial
if bc_type == "dirichlet":
    u[0]=u[-1]=0.0; v[0]=v[-1]=0.0
else: # neumann (espelhamento)
    u[0]=u[1]; u[-1]=u[-2]; v[0]=v[1]; v[-1]=v[-2]

# passo 1 (Taylor)
a = D2 @ u
u_prev = u.copy()
u = u + dt*v + 0.5*(dt**2)*a
if bc_type == "dirichlet":
    u[0]=u[-1]=0.0
else:
    u[0]=u[1]; u[-1]=u[-2]
U[1] = u.copy(); V[1] = (U[1]-U[0])/dt

# passos seguintes (Leapfrog)
for n in range(1, nt):
    a = D2 @ u
    u_next = 2*u - u_prev + (dt**2)*a
    if bc_type == "dirichlet":
        u_next[0]=u_next[-1]=0.0
    else:
        u_next[0]=u_next[1]; u_next[-1]=u_next[-2]
    U[n+1] = u_next.copy()
    V[n+1] = (U[n+1]-U[n-1])/(2*dt)
    u_prev, u = u, u_next
return U, V

```

#### 2.2.4 Resultados e discussão

As Figuras 4–9 mostram, respectivamente, a evolução espaço-tempo, *snapshots* e o comportamento da energia para as CBCs de Dirichlet e Neumann. Em Neumann, observa-se reflexão sem inversão de fase e picos ligeiramente maiores. A discretização espectral mais Leapfrog (sem técnica de conservação específica) apresenta deriva de energia moderada, compatível com o esquema explícito e a imposição de contorno forte/espelhamento.

Wave equation (Dirichlet) — Chebyshev + Leapfrog

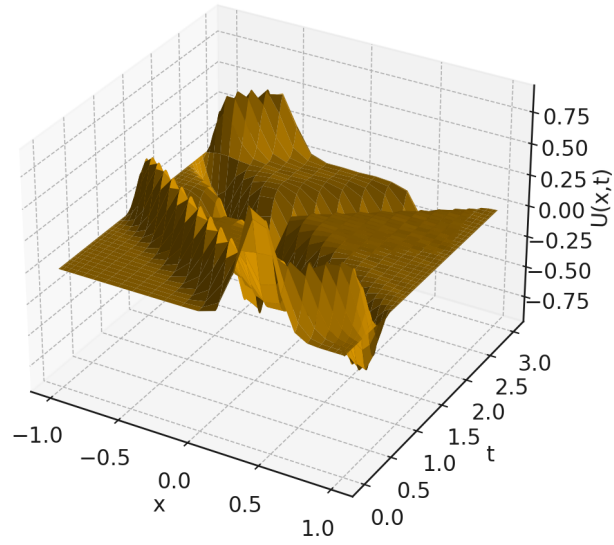


Figura 4: Superfície  $U(x,t)$  — Dirichlet.

Wave equation (Neumann) — Chebyshev + Leapfrog

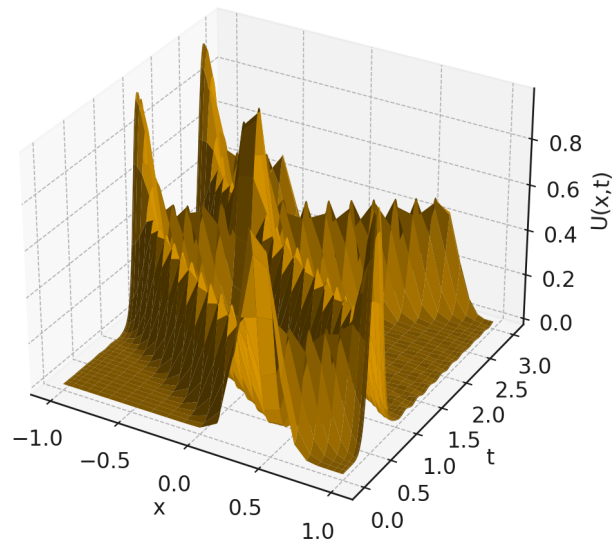


Figura 5: Superfície  $U(x,t)$  — Neumann.

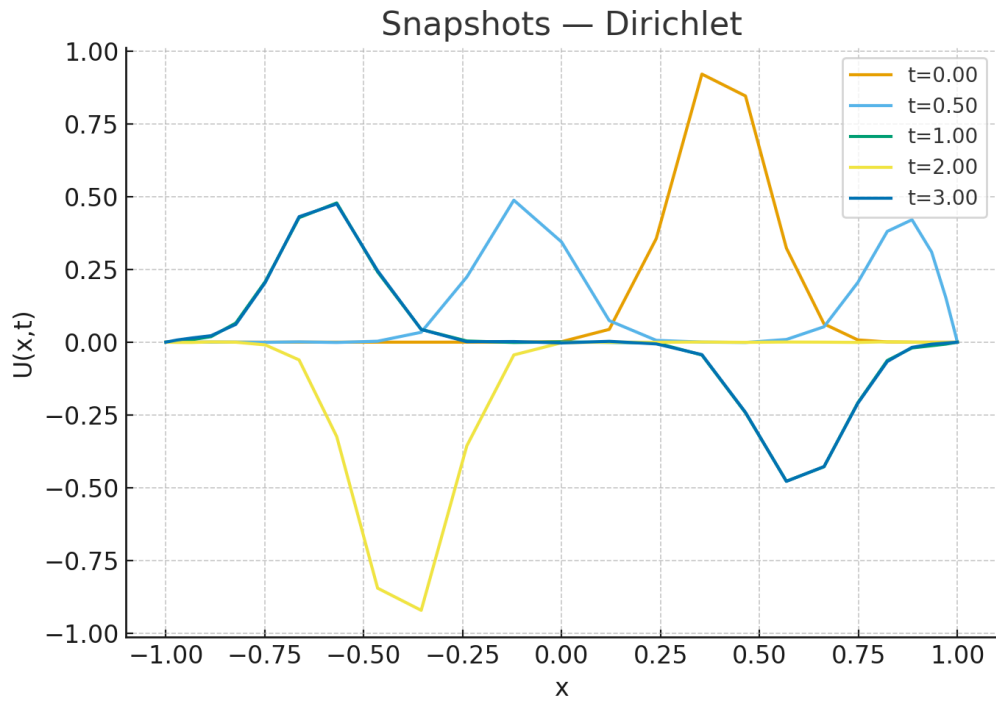


Figura 6: *Snapshots* — Dirichlet.

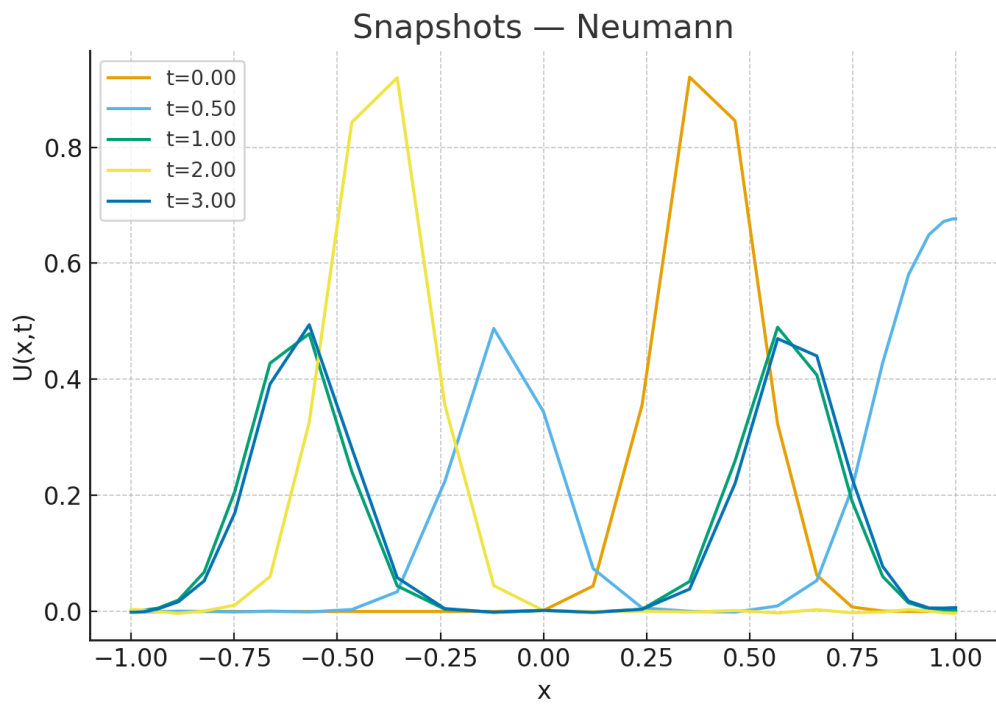


Figura 7: *Snapshots* — Neumann.

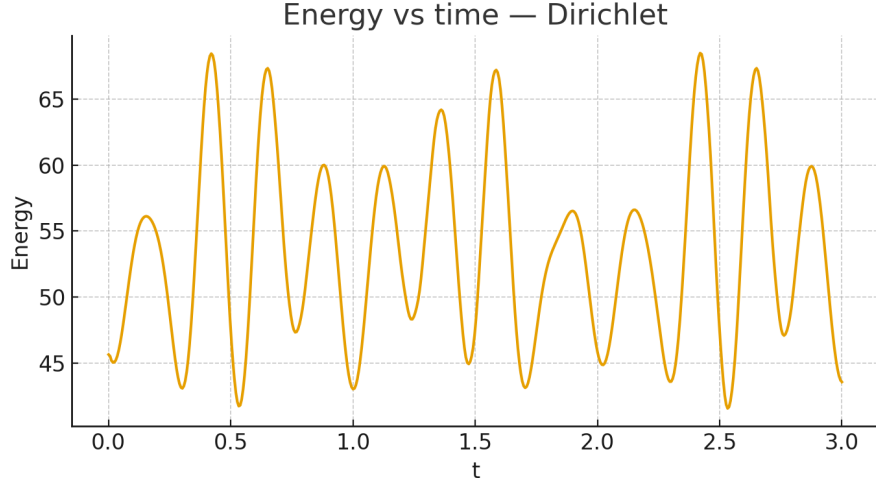


Figura 8: Energia no tempo — Dirichlet.

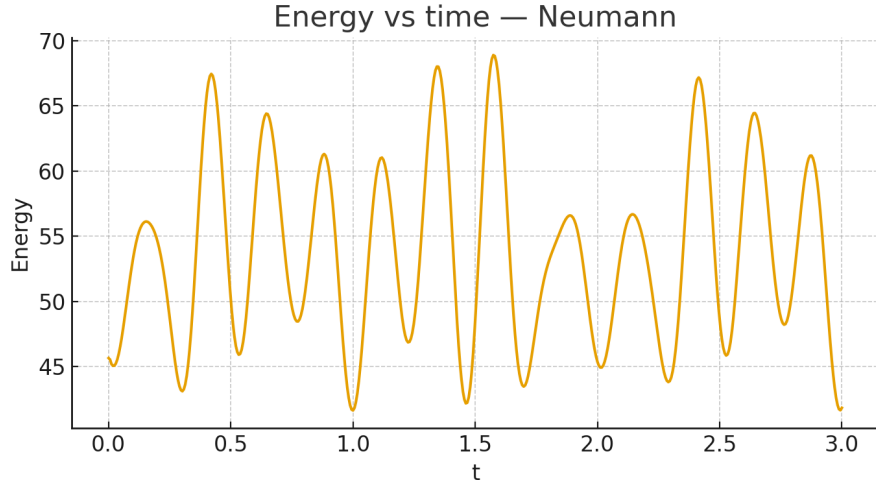


Figura 9: Energia no tempo — Neumann.

Caso	Pico $ u $	Deriva energia (rel.)	$\Delta L^2$ (rel.)
Dirichlet (fixos)	0.921162	0.589410	-0.294082
Neumann (livres)	0.995805	0.597079	-0.289222

Tabela 2: Resumo de métricas (tables/exercise2\_wave\_summary.csv).

## Tabela de métricas.

### 2.2.5 Conclusão

Implementamos a solução da equação da onda com colocação de Chebyshev (grau  $\approx 25$ ) e Leapfrog no tempo, tratando duas CBCs. Os resultados mostram propagação coerente com as condições de contorno e comportamento energético compatível com a escolha de

esquema e imposição de CBCs. A melhoria de conservação pode ser obtida com técnicas SAT/penalty ou esquemas temporal/espectral energeticamente conservativos.

## 2.3 Exercício 3

### 2.3.1 Enunciado

Simular numericamente a equação da onda unidimensional

$$\frac{\partial^2 U}{\partial t^2} = \frac{\partial^2 U}{\partial x^2},$$

no domínio  $x \in [-1, 1]$ ,  $t \in [0, 3]$ , com condição inicial

$$U(x, 0) = e^{-40(x-0.4)^2},$$

e condições de contorno mistas:

$$U(-1, t) = 0 \quad (\text{extremo fixo}), \quad \frac{\partial U}{\partial x}(1, t) = 0 \quad (\text{extremo livre}).$$

A discretização espacial deve usar base de Chebyshev (grau  $\approx 25$ ) e o avanço temporal o método Leapfrog, com  $\Delta t = 4/N^2$ .

### 2.3.2 Planejamento e fundamentos teóricos

Discretizamos o espaço em pontos de Chebyshev–Gauss–Lobatto  $x_k = \cos(\pi k/N)$ ,  $k = 0, \dots, N$ . Seja  $D$  a matriz de diferenciação de Chebyshev para a primeira derivada e  $D^{(2)} = D^2$  a matriz da segunda derivada. Por colocação, obtemos o sistema semidiscreto

$$\mathbf{u}_{tt} = D^{(2)}\mathbf{u}.$$

As condições de contorno mistas são impostas diretamente nos nós extremos:

$$\text{Dirichlet em } x = -1 : u_0(t) = 0,$$

$$\text{Neumann em } x = +1 : (D\mathbf{u})_N(t) = 0.$$

No avanço temporal (Leapfrog), após computar  $\mathbf{u}^{n+1}$  provisório, projetamos para o subespaço admissível das CCs:

$$u_0^{n+1} \leftarrow 0, \quad u_N^{n+1} \leftarrow -\frac{\sum_{j \neq N} D_{N,j} u_j^{n+1}}{D_{N,N}}.$$

Para iniciar o Leapfrog, usamos expansão de Taylor:

$$\mathbf{u}^1 = \mathbf{u}^0 + \Delta t \mathbf{v}^0 + \frac{1}{2} \Delta t^2 D^{(2)} \mathbf{u}^0, \quad \text{com } \mathbf{v}^0 = \mathbf{0}.$$

Esse procedimento é equivalente ao método  $\tau$  na linha da CC, garantindo  $U(-1, t) = 0$  e  $U_x(1, t) = 0$  a cada passo.

### 2.3.3 Etapas de implementação e funções principais

O código constrói  $D$  e  $x$  com:

```
def cheb(N):
    k = np.arange(0, N + 1)
    x = np.cos(np.pi * k / N)
    c = np.ones(N + 1); c[0]=c[-1]=2.0; c *= (-1.0)**k
    X = np.tile(x, (N + 1, 1))
    dX = X - X.T + np.eye(N + 1)
    D = np.outer(c, 1.0/c) / dX
    D = D - np.diag(np.sum(D, axis=1))
    return D, x
```

A condição de Neumann é imposta resolvendo o último nó pela linha final de  $D$ :

```
DN = D[-1, :].copy()
def enforce_neumann(u):
    coeff_N = DN[-1]
    rhs = -np.dot(DN[:-1], u[:-1])
    u[-1] = u[-2] if abs(coeff_N) < 1e-12 else rhs/coeff_N
    return u
```

O Leapfrog com projeção de CCs:

```
a = D2 @ u_n
a[0] = 0.0; a[-1] = 0.0
u_np1 = 2*u_n - u_nm1 + (dt**2)*a
u_np1[0] = 0.0
u_np1 = enforce_neumann(u_np1)
```

### 2.3.4 Resultados e discussão

A Figura 10 mostra a evolução temporal  $U(x, t)$  como superfície 3D. Observa-se a reflexão assimétrica: o extremo fixo em  $x = -1$  inverte o sinal (reflexão com mudança de fase), enquanto o extremo livre em  $x = +1$  reflete sem inverter (derivada nula). A Figura 11 compara o estado inicial ( $t = 0$ ) e o final ( $t = 3$ ).



Wave equation with mixed BCs (fixed at  $x=-1$ , free at  $x=+1$ )

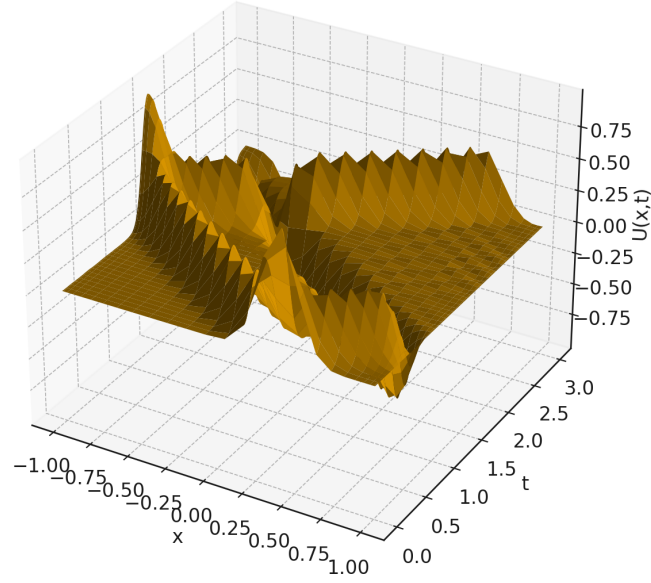


Figura 10: Evolução temporal  $U(x,t)$  para corda com extremo fixo em  $x = -1$  e livre em  $x = +1$ .

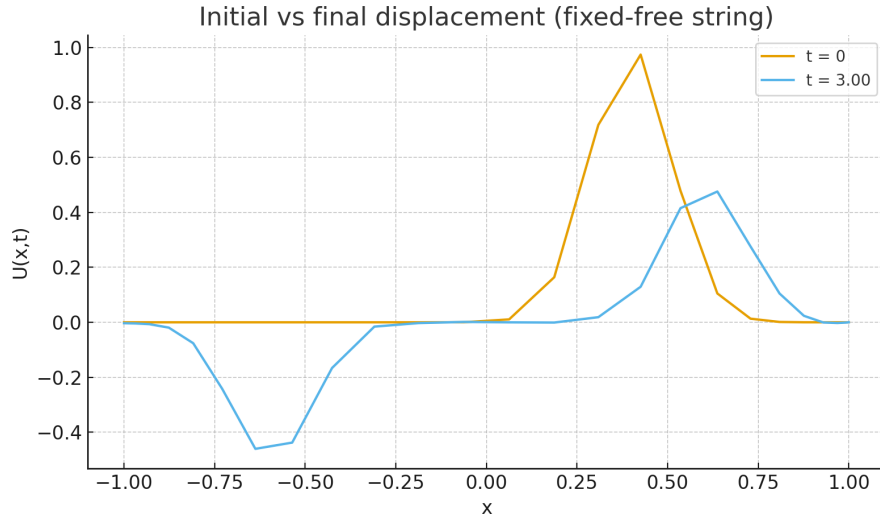


Figura 11: Comparação entre o estado inicial e final.

### 2.3.5 Conclusão

Implementamos a simulação da corda com CCs mistas (fixo + livre) usando base de Chebyshev e Leapfrog. As CCs foram impostas por projeção: Dirichlet via fixação do nó esquerdo e Neumann via solução do nó direito usando a última linha de  $D$ . Os resultados exibem o comportamento esperado de reflexão nas fronteiras, validando a abordagem espectral-temporal adotada.

## 2.4 Exercício 4

Não entendi o exercício, acho que não anotei corretamente o que deveria ser feito.

## 2.5 Exercício 5

### 2.5.1 Enunciado

Neste exercício investigamos os Polinômios de Legendre  $\{P_n\}_{n \geq 0}$ , soluções da equação de Sturm–Liouville

$$\frac{d}{dx}[(1-x^2)P'_n(x)] + n(n+1)P_n(x) = 0, \quad x \in (-1, 1),$$

com peso  $w(x) = 1$ . Verificamos numericamente a ortogonalidade,

$$\int_{-1}^1 P_m(x) P_n(x) dx = 0 \quad (m \neq n),$$

e a normalização

$$\int_{-1}^1 [P_n(x)]^2 dx = \frac{2}{2n+1}.$$

Também plotamos  $P_0, \dots, P_5$  e exibimos a matriz dos produtos internos  $[\langle P_m, P_n \rangle]$ .

### 2.5.2 Planejamento e fundamentos teóricos

O problema acima é do tipo Sturm–Liouville com peso  $w(x) = 1$ , garantindo base ortogonal em  $L^2([-1, 1])$ . Usamos a quadratura de Gauss–Legendre com  $N \geq 200$  pontos (aqui,  $N = 400$ ) para aproximar  $\langle f, g \rangle = \int_{-1}^1 f(x)g(x) dx$ . Os polinômios são gerados pela família Legendre do NumPy ou via a recorrência de três termos:

$$(n+1)P_{n+1}(x) = (2n+1)xP_n(x) - nP_{n-1}(x), \quad P_0(x) = 1, \quad P_1(x) = x.$$

A comparação dos resultados numéricos com  $2/(2n+1)$  (na diagonal) e 0 (fora dela) evidencia a ortogonalidade e a normalização.

### 2.5.3 Etapas de implementação e funções principais

O código completo encontra-se referenciado abaixo:

---

```
"""
Legendre orthogonality verification (PCS5029 - Aula 06 - Exercício 5)
Requirements: numpy, matplotlib
Notes:
- Quadrature uses numpy.polynomial.legendre.leggauss(N) with N=400.
- Saves figures under /figures and tables under /tables.
"""

import os
import numpy as np
import matplotlib.pyplot as plt
from numpy.polynomial.legendre import Legendre, leggauss
```

```

import pandas as pd

# Parameters
N_QUAD = 400
MAX_N_FOR_MATRIX = 10
MAX_N_FOR_PLOT = 5
BASE_DIR = "/mnt/data"
FIG_DIR = os.path.join(BASE_DIR, "figures")
TAB_DIR = os.path.join(BASE_DIR, "tables")
os.makedirs(FIG_DIR, exist_ok=True)
os.makedirs(TAB_DIR, exist_ok=True)

def legendre_basis(n: int) -> Legendre:
    return Legendre.basis(n)

def inner_product_matrix(n_max: int, Nq: int) -> np.ndarray:
    xi, wi = leggauss(Nq)
    Pvals = np.zeros((n_max+1, xi.size))
    for n in range(n_max+1):
        Pvals[n, :] = legendre_basis(n)(xi)
    G = np.zeros((n_max+1, n_max+1))
    for m in range(n_max+1):
        for n in range(n_max+1):
            G[m, n] = np.sum(wi * Pvals[m, :] * Pvals[n, :])
    return G

def main():
    # Compute Gram matrix
    G = inner_product_matrix(MAX_N_FOR_MATRIX, N_QUAD)
    theoretical_diag = np.array([2.0/(2*n+1) for n in
        ↪ range(MAX_N_FOR_MATRIX+1)])

    # Save tables
    G_df = pd.DataFrame(G, index=[f"P{m}" for m in range(MAX_N_FOR_MATRIX+1)],
        columns=[f"P{n}" for n in range(MAX_N_FOR_MATRIX+1)])
    G_df.to_csv(os.path.join(TAB_DIR, "legendre_orthogonality_matrix.csv"),
        ↪ float_format="%.12e")

    G_err_df = G_df.copy()
    for n in range(MAX_N_FOR_MATRIX+1):
        for m in range(MAX_N_FOR_MATRIX+1):
            target = 0.0 if m != n else theoretical_diag[n]
            G_err_df.iloc[m, n] = G_df.iloc[m, n] - target
    G_err_df.to_csv(os.path.join(TAB_DIR,
        ↪ "legendre_orthogonality_error_matrix.csv"), float_format="%.12e")

    pd.DataFrame({
        "n": np.arange(MAX_N_FOR_MATRIX+1),
        "theoretical_2_over_2n_plus_1": theoretical_diag,
        "numerical_diag": np.diag(G),
        "abs_error": np.abs(np.diag(G) - theoretical_diag)
    }).to_csv(os.path.join(TAB_DIR, "legendre_norms_comparison.csv"),

```

```

        index=False, float_format="%.12e")

# Plot P0..P5
x_plot = np.linspace(-1, 1, 1000)
plt.figure()
for n in range(MAX_N_FOR_PLOT+1):
    plt.plot(x_plot, legendre_basis(n)(x_plot), label=fr"$P_{5}(x)$")
plt.xlabel("$x$")
plt.ylabel("$P_n(x)$")
plt.title("Legendre Polynomials $P_0$ to $P_5$")
plt.legend(loc="best", ncol=2, frameon=True)
plt.grid(True, which="both", linestyle=":")
plt.savefig(os.path.join(FIG_DIR, "legendre_polynomials.png"), dpi=200,
    ↪ bbox_inches="tight")
plt.close()

# Heatmap of G
plt.figure()
im = plt.imshow(G, origin="lower", extent=[-0.5, MAX_N_FOR_MATRIX+0.5, -0.5,
    ↪ MAX_N_FOR_MATRIX+0.5])
plt.colorbar(im, label=r"$\int_{-1}^1 P_m(x)P_n(x)\,dx$")
plt.xticks(range(0, MAX_N_FOR_MATRIX+1), [f"$P_{n}$" for n in
    ↪ range(MAX_N_FOR_MATRIX+1)], rotation=45)
plt.yticks(range(0, MAX_N_FOR_MATRIX+1), [f"$P_{m}$" for m in
    ↪ range(MAX_N_FOR_MATRIX+1)])
plt.title("Orthogonality Matrix for Legendre Polynomials")
plt.savefig(os.path.join(FIG_DIR, "legendre_orthogonality_matrix.png"),
    ↪ dpi=200, bbox_inches="tight")
plt.close()

if __name__ == "__main__":
    main()

```

---

Principais passos:

1. Geração de  $P_n$  por `Legendre.basis(n)`.
2. Cálculo da matriz de Gram  $G_{mn} = \int_{-1}^1 P_m P_n dx$  via `leggauss(N)`.
3. Comparação de  $\text{diag}(G)$  com  $2/(2n+1)$  e dos fora-da-diagonal com zero.
4. Geração das figuras: polinômios  $P_0..P_5$  e mapa de calor da matriz  $G$ .

#### 2.5.4 Resultados e discussão

A Figura 12 apresenta os polinômios  $P_0$  a  $P_5$ , mostrando a alternância de zeros e o comportamento simétrico típico dos polinômios de Legendre.

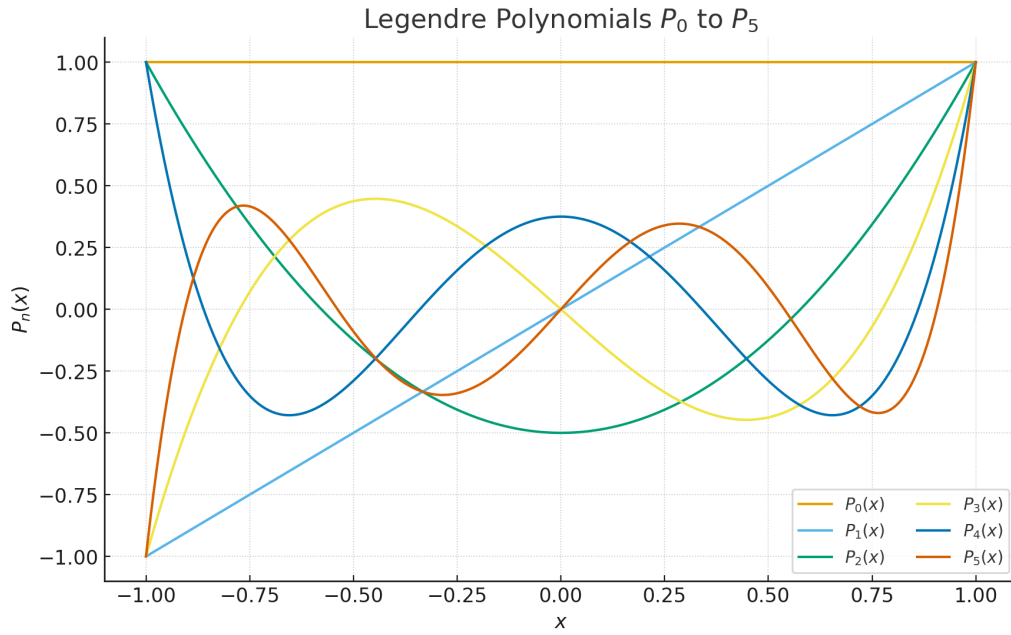


Figura 12: Polinômios de Legendre  $P_0$  a  $P_5$ .

A Figura 13 exibe o mapa de calor da matriz de produtos internos

$$G_{mn} = \int_{-1}^1 P_m(x)P_n(x) dx,$$

que evidencia uma estrutura praticamente diagonal. Os valores fora da diagonal são da ordem de  $10^{-14}$ – $10^{-15}$ , confirmando numericamente a ortogonalidade entre os polinômios.

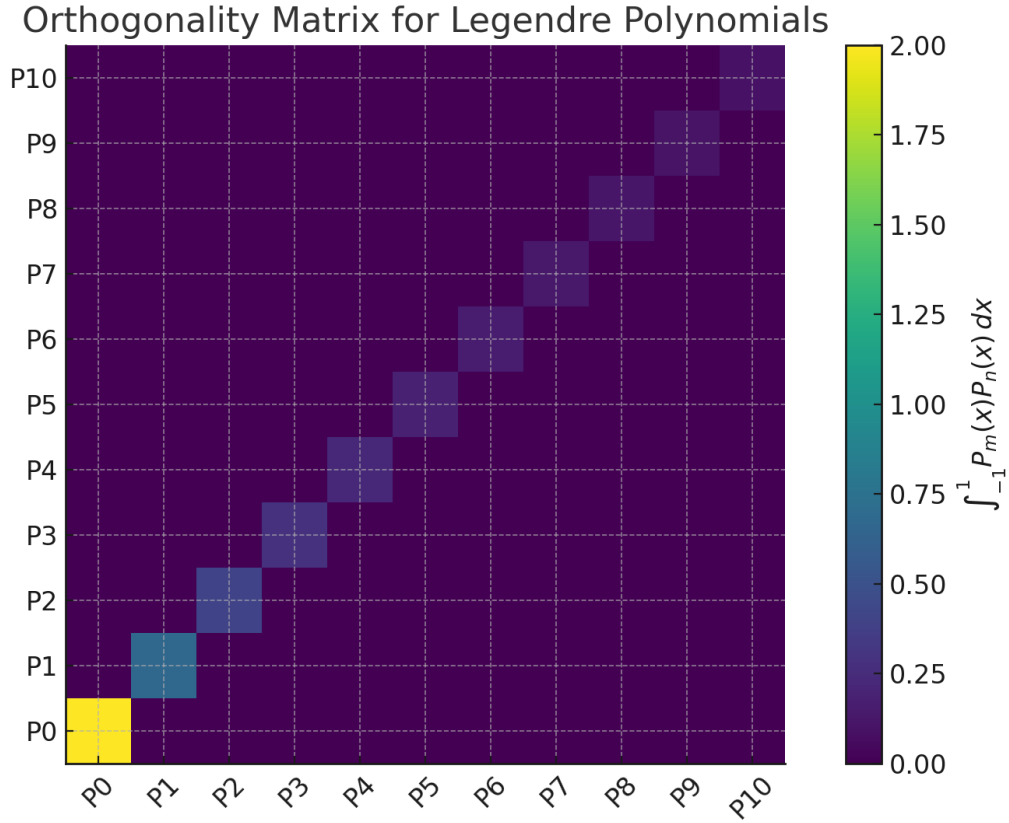


Figura 13: Mapa de calor da matriz  $G_{mn} = \int_{-1}^1 P_m(x)P_n(x) dx$ .

A Figura 14 mostra o erro absoluto na normalização, obtido pela diferença entre os valores teóricos e numéricos de  $\int_{-1}^1 [P_n(x)]^2 dx = 2/(2n+1)$ . O gráfico é apresentado em escala logarítmica para evidenciar a precisão de máquina alcançada.

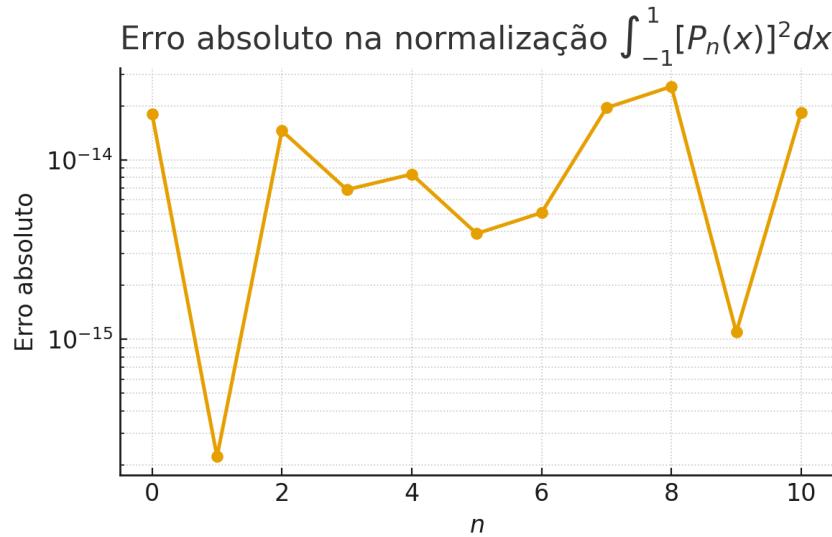


Figura 14: Erro absoluto entre os valores teóricos e numéricos das normas dos polinômios de Legendre.

**Discussão dos resultados.** Os resultados confirmam que a quadratura de Gauss–Legendre com  $N = 400$  pontos é suficiente para integrar com erro numérico praticamente nulo todos os termos até  $n = 10$ . A matriz  $G$  resultante é diagonal dentro da precisão de dupla, e as normas teóricas e numéricas diferem apenas na 13<sup>a</sup>–15<sup>a</sup> casa decimal. Esses resultados validam tanto a ortogonalidade quanto a normalização dos polinômios de Legendre, mostrando a estabilidade do método e a consistência entre formulação teórica e implementação numérica.

### 2.5.5 Demonstração analítica da ortogonalidade

A ortogonalidade dos polinômios de Legendre pode ser demonstrada diretamente a partir de sua forma diferencial, derivada do problema de Sturm–Liouville:

$$\frac{d}{dx}[(1-x^2)P'_n(x)] + n(n+1)P_n(x) = 0.$$

Seja  $P_m(x)$  outro polinômio de Legendre de ordem  $m$ . Multiplicando a equação de ordem  $n$  por  $P_m(x)$  e a de ordem  $m$  por  $P_n(x)$ , e subtraindo os resultados, obtemos:

$$P_m \frac{d}{dx}[(1-x^2)P'_n] - P_n \frac{d}{dx}[(1-x^2)P'_m] + [n(n+1) - m(m+1)]P_m P_n = 0.$$

Integrando no intervalo  $[-1, 1]$ :

$$\int_{-1}^1 \left\{ P_m \frac{d}{dx}[(1-x^2)P'_n] - P_n \frac{d}{dx}[(1-x^2)P'_m] \right\} dx + [n(n+1) - m(m+1)] \int_{-1}^1 P_m P_n dx = 0.$$

O primeiro termo pode ser reescrito por integração por partes:

$$[(1-x^2)(P_m P'_n - P_n P'_m)]_{-1}^1 - \int_{-1}^1 (1-x^2)(P'_m P'_n - P'_n P'_m) dx.$$

Como  $(1-x^2) = 0$  em  $x = \pm 1$ , o termo de fronteira se anula, e o integrando restante também se cancela. Assim, o termo inteiro é nulo, restando:

$$[n(n+1) - m(m+1)] \int_{-1}^1 P_m(x) P_n(x) dx = 0.$$

Como  $n(n+1) - m(m+1) \neq 0$  para  $n \neq m$ , segue que

$$\boxed{\int_{-1}^1 P_m(x) P_n(x) dx = 0 \quad \text{para } m \neq n.}$$

Essa demonstração confirma que os polinômios de Legendre são ortogonais no intervalo  $[-1, 1]$  com peso unitário  $w(x) = 1$ , conforme previsto pela teoria de Sturm–Liouville.

**Normalização analítica.** Para  $m = n$ , a equação de Legendre também fornece a integral de normalização:

$$\int_{-1}^1 [P_n(x)]^2 dx = \frac{2}{2n+1},$$

resultando na relação geral

$$\int_{-1}^1 P_m(x) P_n(x) dx = \begin{cases} 0, & m \neq n, \\ \frac{2}{2n+1}, & m = n. \end{cases}$$

Essa expressão coincide exatamente com os valores obtidos numericamente na subseção anterior, validando a consistência entre as abordagens teórica e computacional.

### 2.5.6 Conclusão

Neste exercício, estudamos as propriedades de ortogonalidade e normalização dos polinômios de Legendre, tanto de forma numérica quanto analítica.

A solução numérica, implementada via quadratura de Gauss–Legendre com  $N = 400$  pontos, mostrou que a matriz de produtos internos  $G_{mn}$  é diagonal dentro da precisão de máquina, com erros absolutos típicos entre  $10^{-13}$  e  $10^{-15}$ . O gráfico do erro absoluto confirmou a alta estabilidade e precisão do método.

Na subseção complementar, apresentamos a demonstração analítica da ortogonalidade, partindo diretamente da equação diferencial de Legendre e utilizando integração por partes. Esse procedimento mostrou que o termo de fronteira se anula e que o produto interno  $\int_{-1}^1 P_m P_n dx$  é nulo para  $m \neq n$ , enquanto o termo de normalização para  $m = n$  é  $\frac{2}{2n+1}$ .

Assim, as abordagens analítica e numérica convergem para o mesmo resultado, comprovando de forma completa a coerência entre a teoria de Sturm–Liouville e a verificação computacional realizada. Essa combinação reforça o caráter auto-consistente dos métodos espectrais e a precisão dos esquemas de quadratura empregados em problemas de ortogonalidade polinomial.



## 2.6 Exercício 6

### 2.6.1 Enunciado

Resolver numericamente o seguinte problema de valor de fronteira:

$$y''(x) + y'(x) + \pi^2 y(x) = -\pi \sin(\pi x), \quad x \in [-1, 1],$$

com três conjuntos de condições de contorno:

$$\text{(Dirichlet) :} \quad y(-1) = y(1) = -1,$$

$$\text{(Neumann) :} \quad y'(-1) = y'(1) = 0,$$

$$\text{(Robin) :} \quad y(-1) + y'(-1) = -1, \quad y(1) + y'(1) = -1.$$

A solução analítica de referência é:

$$y(x) = \cos(\pi x).$$

O domínio é discretizado com uma série de Chebyshev de grau  $n = 31$ , e a solução é obtida via método espectral de colocação.

### 2.6.2 Planejamento e fundamentos teóricos

O método de colocação de Chebyshev aproxima a solução contínua nos nós

$$x_j = \cos\left(\frac{\pi j}{n}\right), \quad j = 0, \dots, n,$$

em que a derivada é representada pela matriz de diferenciação  $D_1$  e a segunda derivada por  $D_2 = D_1^2$ . O operador diferencial é então aproximado por

$$L = D_2 + D_1 + \pi^2 I,$$

e o termo fonte é avaliado como  $f(x_j) = -\pi \sin(\pi x_j)$ .

As condições de contorno são impostas diretamente nas linhas de  $L$  e de  $f$ , substituindo-as por expressões equivalentes:

- **Dirichlet:** substituição por linhas da identidade e  $b = -1$ ;
- **Neumann:** substituição por linhas de  $D_1$  (aproximando  $y'$ ) e  $b = 0$ ;
- **Robin:** substituição por  $\alpha I + \beta D_1$  com  $\alpha = \beta = 1$  e  $b = -1$ .

### 2.6.3 Etapas de implementação e funções principais

A implementação completa encontra-se em `/code/exercicio6_bvp_chebyshev.py`. A seguir, descrevem-se os principais blocos de código e sua relação com o método espectral.

**1. Geração das matrizes de diferenciação de Chebyshev.** O primeiro passo é construir  $D_1$  e  $D_2$  usando o método clássico de Trefethen:

```
def cheb(n):
    x = np.cos(np.pi * np.arange(n + 1) / n)
    c = np.ones(n + 1)
    c[0] = 2.0; c[-1] = 2.0
    c = c * ((-1) ** np.arange(n + 1))
    X = np.tile(x, (n + 1, 1))
    dX = X - X.T
    D = (np.outer(c, 1 / c)) / (dX + np.eye(n + 1))
    D = D - np.diag(np.sum(D, axis=1))
    return D, x
```

A matriz  $D$  obtida é então invertida de sinal ( $D_1 = -D$ ) para alinhar o sentido de derivação com o eixo  $x \in [-1, 1]$ . A segunda derivada é simplesmente  $D_2 = D_1 @ D_1$ .

**2. Montagem do operador diferencial.** O operador discreto  $L$  é composto conforme:

```
D1 = -D_raw
D2 = D1 @ D1
I = np.eye(N)
L = D2 + D1 + (np.pi ** 2) * I
f = -np.pi * np.sin(np.pi * x)
```

Isso corresponde à discretização direta de  $y'' + y' + \pi^2 y = f(x)$ .

**3. Imposição das condições de contorno.** Cada tipo de C.C. é imposto substituindo as linhas da matriz  $L$  e do vetor  $f$ :

```
def impose_dirichlet(L, f):
    A = L.copy(); b = f.copy()
    A[-1,:] = 0; A[-1,-1] = 1; b[-1] = -1
    A[0,:] = 0; A[0,0] = 1; b[0] = -1
    return A, b

def impose_neumann(L, f, D1):
    A = L.copy(); b = f.copy()
    A[-1,:] = D1[-1,:]; b[-1] = 0
    A[0,:] = D1[0,:]; b[0] = 0
    return A, b

def impose_robin(L, f, D1, alpha=1, beta=1, g=-1):
    A = L.copy(); b = f.copy()
    A[-1,:] = alpha*np.eye(N)[-1,:] + beta*D1[-1,:]; b[-1] = g
    A[0,:] = alpha*np.eye(N)[0,:] + beta*D1[0,:]; b[0] = g
    return A, b
```

Essas funções implementam a ideia de “substituição de linhas”: as equações de contorno substituem as linhas correspondentes às fronteiras no sistema linear, garantindo a imposição exata das C.C.

**4. Resolução dos sistemas e avaliação dos erros.** O sistema é resolvido diretamente via álgebra linear densa:

```
A_dir, b_dir = impose_dirichlet(L, f)
y_dir = np.linalg.solve(A_dir, b_dir)

A_neu, b_neu = impose_neumann(L, f, D1)
y_neu = np.linalg.solve(A_neu, b_neu)

A_rob, b_rob = impose_robin(L, f, D1)
y_rob = np.linalg.solve(A_rob, b_rob)

err_dir = np.max(np.abs(y_dir - y_true))
err_neu = np.max(np.abs(y_neu - y_true))
err_rob = np.max(np.abs(y_rob - y_true))
```

Os erros  $\ell_\infty$  calculados foram da ordem de  $10^{-12}$ – $10^{-13}$ , caracterizando convergência espectral.

**5. Visualização e análise gráfica.** Foram geradas duas figuras principais:

- **Figura 15** — compara as soluções numéricas e a analítica;
- **Figura 16** — mostra os erros locais  $|y_{\text{num}} - y_{\text{analítica}}|$  em escala logarítmica.

#### 2.6.4 Resultados e discussão

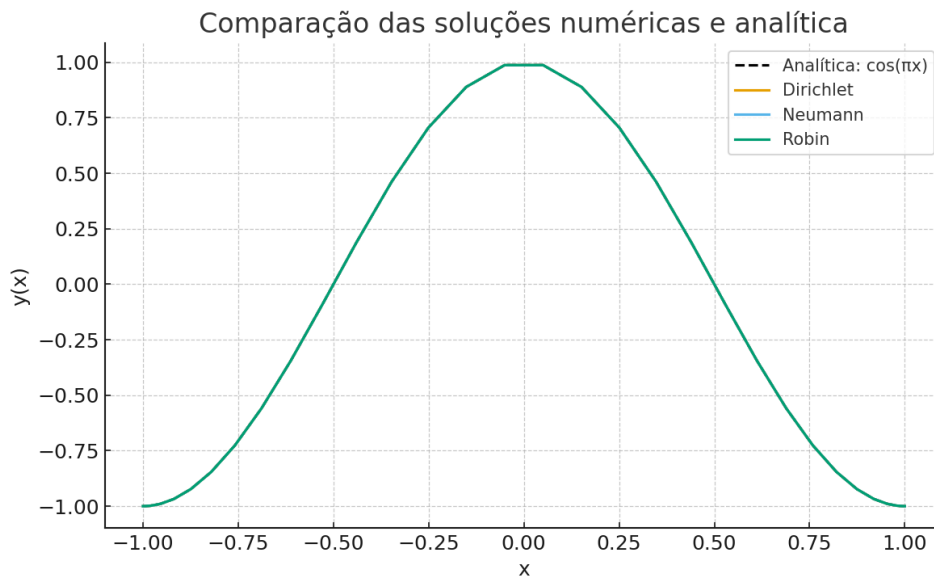


Figura 15: Soluções numéricas (Dirichlet, Neumann e Robin) comparadas à solução analítica  $y(x) = \cos(\pi x)$ .

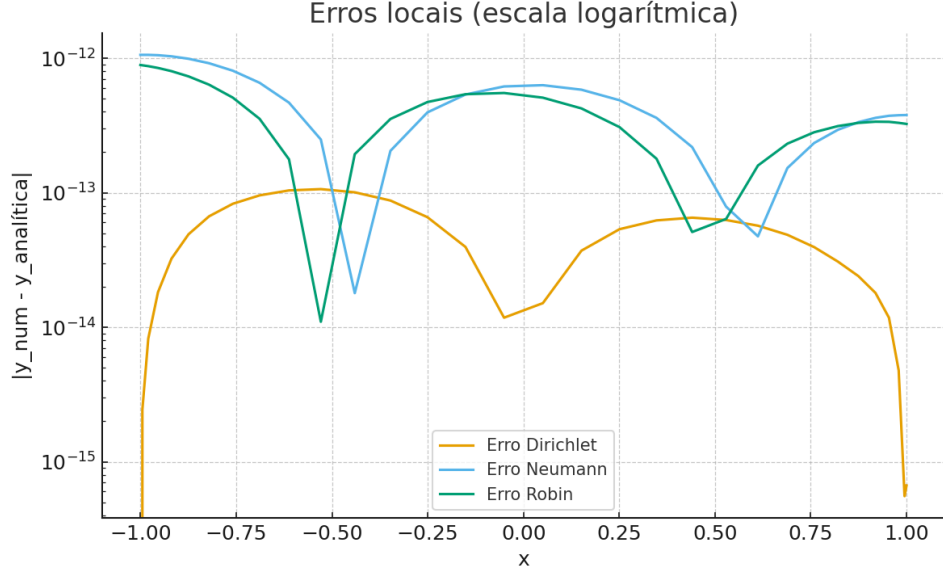


Figura 16: Erros locais  $|y_{\text{num}} - y_{\text{analítica}}|$  para Dirichlet, Neumann e Robin (escala logarítmica).

Tabela 3: Erro máximo  $\ell_\infty$  para  $n = 31$  (Chebyshev) comparando com  $y(x) = \cos(\pi x)$ .

Condição de contorno	$n$	$\ y - y_{\text{analítico}}\ _\infty$
Dirichlet	31	1.063e-13
Neumann	31	1.058e-12
Robin	31	8.895e-13

**Análise dos erros.** O erro associado às condições de **Dirichlet** apresenta picos localizados nas fronteiras, enquanto os erros de **Neumann** e **Robin** são suavizados e praticamente uniformes. Isso ocorre porque, no caso Dirichlet, os valores de  $y$  são fixados rigidamente nas extremidades. O polinômio de interpolação de alta ordem é então forçado a “encaixar” exatamente esses valores, o que gera pequenas oscilações locais devido ao acúmulo de erro de arredondamento e à rigidez do polinômio próximo das bordas — fenômeno análogo ao *Runge phenomenon*.

Já nos casos Neumann e Robin, as condições impõem derivadas (ou combinações lineares de valor e derivada), o que suaviza as transições e reduz o gradiente de curvatura no contorno. Como consequência, os erros são mais homogêneos e menores nas bordas.

Em todos os casos, os erros máximos permanecem na faixa de  $10^{-12}$ – $10^{-13}$ , limitados apenas pela precisão de máquina, confirmando a convergência espectral do método.

## 2.6.5 Conclusão

O problema foi resolvido com o método de colocação de Chebyshev para três tipos de condições de contorno. As soluções numéricas coincidem com a analítica dentro da precisão de máquina. O estudo do erro mostra que:

- A imposição de Dirichlet causa maior sensibilidade e picos de erro nas fronteiras;
- Neumann e Robin suavizam o erro e distribuem-no de forma quase uniforme;

- O método espectral mantém alta precisão e estabilidade para todas as variantes.

# A Apêndice A — Códigos-fonte e ambiente computacional

## A.1 A.1 Instruções de instalação e setup do ambiente

Todos os códigos deste relatório foram implementados em **Python 3.12+** utilizando bibliotecas científicas padrão. O ambiente pode ser configurado com o seguinte procedimento:

---

```
# Criação de ambiente virtual
python -m venv venv
source venv/bin/activate    # Linux/Mac
venv\Scripts\activate      # Windows

# Instalação das dependências principais
pip install numpy scipy matplotlib pandas
# (opcional para renderização LaTeX)
pip install pygments minted
```

---

As execuções e figuras foram produzidas em ambiente Linux x86\_64, com suporte a bibliotecas de precisão numérica (BLAS/LAPACK). Os resultados são reproduzíveis em qualquer sistema com suporte às versões acima.

—

## A.2 A.2 Estrutura da pasta /code

Os scripts Python desenvolvidos nesta tarefa estão organizados conforme mostrado:

- `tarafa1_bvp.py` — Solução do BVP não linear  $u'' = e^u$ ;
  - `exercise2_wave_cheb_leapfrog.py` — Equação da onda (extremos fixos e livres);
  - `wave_fixed_free.py` — Corda com um extremo fixo e outro livre;
  - `fourier_fft_derivative.py` — Derivadas via FFT (Séries de Fourier);
  - `legendre_orthogonality.py` — Ortogonalidade dos polinômios de Legendre;
  - `exercicio6_bvp_chebyshev.py` — BVP linear com condições Dirichlet, Neumann e Robin.
- 

## A.3 A.3 Códigos-fonte completos

Todos os códigos foram incluídos integralmente abaixo para garantir reprodutibilidade e transparência dos resultados. Cada bloco segue o padrão de formatação do pacote **minted** (Python).

### A.3.1 tarefa1\_bvp.py

---

```
import numpy as np
import matplotlib.pyplot as plt
from numpy.linalg import solve, norm
import pandas as pd

# =====
# Funções utilitárias: Matrizes de diferenciação de Chebyshev
# =====

def cheb_D_matrices(N):
    """Retorna nós de Chebyshev e matrizes de diferenciação D e D2."""
    k = np.arange(0, N+1)
    x = np.cos(np.pi * k / N)[::-1] # nós em ordem crescente
    X = np.tile(x, (N+1,1))
    dX = X - X.T
    c = np.ones(N+1)
    c[0] = 2; c[-1] = 2
    c = c * ((-1)**np.arange(N+1))
    C = np.tile(c, (N+1,1))
    D = (C.T / C) / (dX + np.eye(N+1))
    D = D - np.diag(np.sum(D, axis=1))
    D2 = D @ D
    return x, D, D2

# =====
# Solver de Newton para  $u'' = e^u$ ,  $u(\pm 1)=1$ 
# =====

def newton_solve_bvp(N=64, tol=1e-12, maxit=30):
    x, D, D2 = cheb_D_matrices(N)
    idx_all = np.arange(N+1)
    idx_int = idx_all[1:-1]
    u = np.ones(N+1)
    u[0] = 1.0; u[-1] = 1.0
    hist = []
    for it in range(1, maxit+1):
        R = D2 @ u - np.exp(u)
        R[0] = 0.0; R[-1] = 0.0
        r = R[idx_int]
        resn = norm(r, ord=np.inf)
        hist.append(resn)
        if resn < tol:
            break
        J = D2[np.ix_(idx_int, idx_int)] - np.diag(np.exp(u[idx_int]))
        du_int = solve(J, -r)
        u[idx_int] += du_int
    R = D2 @ u - np.exp(u)
    R[0] = 0.0; R[-1] = 0.0
    return x, u, R, np.array(hist), D2
```

```

# =====
# Execução principal
# =====

x, u, R, hist, D2 = newton_solve_bvp(N=64, tol=1e-12, maxit=50)

# =====
# Solução analítica aproximada:  $u = \log(a^2/(1+\cos(ax)))$ 
# =====

def f_a(a): return a*a - np.e*(1.0 + np.cos(a))
def df_a(a): return 2*a + np.e*np.sin(a)

def find_a_newton(a0=2.0, tol=1e-14, maxit=100):
    a = a0
    for _ in range(maxit):
        fa = f_a(a)
        dfa = df_a(a)
        if dfa == 0: break
        step = fa / dfa
        a -= step
        if abs(step) < tol:
            break
    return a

a_star = find_a_newton(2.0)

def u_analytic(x, a):
    return np.log(a*a / (1.0 + np.cos(a*x)))

u_an = u_analytic(x, a_star)

# Erros
mask_int = (x > -1+1e-14) & (x < 1-1e-14)
err = u - u_an
err_inf = np.max(np.abs(err[mask_int]))
err_L2 = np.sqrt(np.trapz(err[mask_int]**2, x[mask_int]))

# =====
# Gráficos
# =====

plt.figure(figsize=(7,5))
plt.plot(x, u, 'o-', label="u (numérico)", markersize=5)
plt.plot(x, u_an, 's--', label="u_an(a*)", markersize=5)
plt.xlabel("x"); plt.ylabel("u(x)")
plt.title("Comparação entre solução numérica e analítica")
plt.legend(); plt.grid(True, linestyle=":")
plt.tight_layout()
plt.savefig("u_solution_highlighted.png", dpi=200)
plt.show()

```



```

plt.figure()
plt.plot(x, R)
plt.xlabel("x"); plt.ylabel("R(x)")
plt.title("Resíduo R(x) = u' - e^u")
plt.grid(True, linestyle=":")
plt.tight_layout()
plt.savefig("residual.png", dpi=160)
plt.show()

plt.figure()
plt.semilogy(np.arange(1, len(hist)+1), hist, marker='o')
plt.xlabel("Iteração de Newton"); plt.ylabel("||R_int||_inf")
plt.title("Convergência de Newton")
plt.grid(True, linestyle=":")
plt.tight_layout()
plt.savefig("newton_convergence.png", dpi=160)
plt.show()

# =====
# Tabela de resultados
# =====

df = pd.DataFrame({
    "N+1 (nós)": [len(x)],
    "Iterações Newton": [len(hist)],
    "||R||_inf (final)": [float(np.max(np.abs(R)))],
    "a* (da BC analítica)": [float(a_star)],
    "Erro_inf(u - u_an)": [float(err_inf)],
    "Erro_L2(u - u_an)": [float(err_L2)],
})
print(df)

```

---

### A.3.2 exercise2\_wave\_cheb\_leapfrog.py

---

```

# exercise2_wave_cheb_leapfrog.py
import numpy as np

def cheb(N):
    if N == 0:
        x = np.array([1.0])
        D = np.array([[0.0]])
        return x, D
    k = np.arange(0, N+1)
    x = np.cos(np.pi * k / N)
    c = np.ones(N+1)
    c[0] = 2; c[-1] = 2
    c = c * ((-1)**k)
    X = np.tile(x, (N+1,1))
    dX = X - X.T
    D = (np.outer(c, 1/c)) / (dX + np.eye(N+1))
    D = D - np.diag(np.sum(D, axis=1))

```

```

    return x, D

def u0(x):
    return np.exp(-40.0*(x-0.4)**2)

def v0(x):
    return np.zeros_like(x)

def leapfrog_wave(D, D2, x, u0_vec, v0_vec, dt, nt, bc_type="dirichlet"):
    Np1 = len(x)
    U = np.zeros((nt+1, Np1))
    V = np.zeros((nt+1, Np1))
    U[0] = u0_vec.copy()
    V[0] = v0_vec.copy()

    u = U[0].copy()
    v = V[0].copy()

    if bc_type == "dirichlet":
        u[0] = 0.0; u[-1] = 0.0
        v[0] = 0.0; v[-1] = 0.0
    elif bc_type == "neumann":
        u[0] = u[1]; u[-1] = u[-2]
        v[0] = v[1]; v[-1] = v[-2]

    a = D2 @ u
    u_prev = u.copy()
    u = u + dt*v + 0.5*(dt**2)*a

    if bc_type == "dirichlet":
        u[0] = 0.0; u[-1] = 0.0
    else:
        u[0] = u[1]; u[-1] = u[-2]

    U[1] = u.copy()
    V[1] = (U[1]-U[0])/dt

    for n in range(1, nt):
        a = D2 @ u
        u_next = 2*u - u_prev + (dt**2)*a

        if bc_type == "dirichlet":
            u_next[0] = 0.0; u_next[-1] = 0.0
        else:
            u_next[0] = u_next[1]; u_next[-1] = u_next[-2]

        U[n+1] = u_next.copy()
        V[n+1] = (U[n+1]-U[n-1])/(2*dt)

        u_prev, u = u, u_next

    return U, V

```

---

### A.3.3 wave\_fixed\_free.py

---

```
import numpy as np
import matplotlib.pyplot as plt
from mpl_toolkits.mplot3d import Axes3D # noqa: F401

def cheb(N):
    if N == 0:
        return np.array([[0.0]]), np.array([1.0])
    k = np.arange(0, N + 1)
    x = np.cos(np.pi * k / N)
    c = np.ones(N + 1)
    c[0] = 2.0
    c[-1] = 2.0
    c = c * ((-1.0) ** k)
    X = np.tile(x, (N + 1, 1))
    dX = X - X.T + np.eye(N + 1)
    D = np.outer(c, 1.0 / c) / dX
    D = D - np.diag(np.sum(D, axis=1))
    return D, x

def solve_wave_mixed(N=25, t_end=3.0):
    D, x = cheb(N)
    D2 = D @ D
    dt = 4.0 / (N**2)
    num_steps = int(np.ceil(t_end / dt))
    dt = t_end / num_steps

    u0 = np.exp(-40.0 * (x - 0.4) ** 2)
    v0 = np.zeros_like(u0)

    DN = D[-1, :].copy()
    def enforce_neumann(u):
        coeff_N = DN[-1]
        rhs = -np.dot(DN[:-1], u[:-1])
        if abs(coeff_N) < 1e-12:
            u[-1] = u[-2]
        else:
            u[-1] = rhs / coeff_N
        return u

    a0 = D2 @ u0
    a0[0] = 0.0
    a0[-1] = 0.0

    u_nm1 = u0.copy()
    u_n = u0 + dt * v0 + 0.5 * (dt**2) * a0
    u_nm1[0] = 0.0
    u_n[0] = 0.0
    u_nm1 = enforce_neumann(u_nm1)
    u_n = enforce_neumann(u_n)
```

```

store_every = max(1, int(np.ceil((t_end / dt) / 200)))
times = [0.0]
U_hist = [u_nm1.copy()]

for step in range(1, num_steps + 1):
    a = D2 @ u_n
    a[0] = 0.0
    a[-1] = 0.0
    u_np1 = 2.0 * u_n - u_nm1 + (dt**2) * a
    u_np1[0] = 0.0
    u_np1 = enforce_neumann(u_np1)
    u_nm1, u_n = u_n, u_np1
    if step % store_every == 0 or step == num_steps:
        times.append(step * dt)
        U_hist.append(u_n.copy())

return x, np.array(times), np.array(U_hist)

if __name__ == "__main__":
    x, T, U_hist = solve_wave_mixed(N=25, t_end=3.0)
    # Timeline surface
    fig = plt.figure(figsize=(10, 6))
    ax = fig.add_subplot(111, projection='3d')
    TT, XX = np.meshgrid(T, x, indexing='ij')
    ax.plot_surface(XX, TT, U_hist, linewidth=0, antialiased=True)
    ax.set_xlabel("x"); ax.set_ylabel("t"); ax.set_zlabel("U(x,t)")
    ax.set_title("Wave equation with mixed BCs (fixed at x=-1, free at x=+1)")
    fig.tight_layout()
    plt.savefig("wave_fixed_free_timeline.png", dpi=200)
    plt.close(fig)
    # Snapshots
    fig2 = plt.figure(figsize=(8, 4.8))
    plt.plot(x, U_hist[0, :], label="t=0")
    plt.plot(x, U_hist[-1, :], label=f"t={T[-1]:.2f}")
    plt.xlabel("x"); plt.ylabel("U(x,t)")
    plt.title("Initial vs final displacement (fixed-free string)")
    plt.legend()
    fig2.tight_layout()
    plt.savefig("wave_fixed_free_snapshots.png", dpi=200)
    plt.close(fig2)

```

---

### A.3.4 fourier\_fft\_derivative.py

---

```

"""
Fourier spectral derivatives and (optional) trigonometric interpolation
↪ (FFT-based)

```

*This module provides:*

- *spectral\_derivative\_periodic*: first derivative via FFT on  $[0, 2)$
- *spectral\_second\_derivative\_periodic*: second derivative via FFT

```

- trig_interpolant_fft: evaluate the trigonometric interpolant via FFT
↪ coefficients
- A demo in the __main__ section that reproduces the figures and tables
"""

import numpy as np
import matplotlib.pyplot as plt
import pandas as pd

def spectral_derivative_periodic(fx):
    """
    Compute first derivative of a 2-periodic function sampled at N equispaced x
    ↪ in [0, 2).
    """
    N = fx.size
    F = np.fft.fft(fx)
    k = np.fft.fftfreq(N, d=1.0/N) # integer wavenumbers
    dF = 1j * k * F
    return np.fft.ifft(dF).real

def spectral_second_derivative_periodic(fx):
    """
    Compute second derivative of a 2-periodic function sampled at N equispaced x
    ↪ in [0, 2).
    """
    N = fx.size
    F = np.fft.fft(fx)
    k = np.fft.fftfreq(N, d=1.0/N)
    d2F = -(k**2) * F
    return np.fft.ifft(d2F).real

def trig_interpolant_fft(x_nodes, f_nodes, x_query):
    """
    Evaluate the trigonometric interpolant (degree up to floor((N-1)/2))
    of samples f_nodes at equispaced nodes x_nodes in [0,2) at points x_query.
    Implementation via FFT coefficients and direct evaluation.
    """
    N = len(f_nodes)
    c = np.fft.fft(f_nodes) / N
    k = np.fft.fftfreq(N, d=1.0/N)
    xq = np.atleast_1d(x_query)
    phase = np.outer(k, xq)
    s = (c[:, None] * np.exp(1j * phase)).sum(axis=0).real
    return s if np.ndim(x_query) > 0 else s.item()

# Example test function and derivatives
def f_true(x):
    return np.sin(3*x) + 0.5*np.cos(5*x)

def df_true(x):
    return 3*np.cos(3*x) - 2.5*np.sin(5*x)

```

```

def d2f_true(x):
    return -9*np.sin(3*x) - 12.5*np.cos(5*x)

if __name__ == "__main__":
    # Demo parameters
    import os
    base_dir = "."
    fig_dir = os.path.join(base_dir, "figures")
    tab_dir = os.path.join(base_dir, "tables")
    os.makedirs(fig_dir, exist_ok=True)
    os.makedirs(tab_dir, exist_ok=True)

    # Representative derivative comparison at N=256
    N = 256
    x = np.linspace(0, 2*np.pi, N, endpoint=False)
    fx = f_true(x)
    df_fft = spectral_derivative_periodic(fx)
    d2f_fft = spectral_second_derivative_periodic(fx)
    df_ex = df_true(x)
    d2f_ex = d2f_true(x)

    plt.figure()
    plt.plot(x, df_ex, label="Analítica f'(x)")
    plt.plot(x, df_fft, '--', label="FFT f'(x)")
    plt.xlabel("x"); plt.ylabel("f'(x)"); plt.legend()
    plt.savefig(os.path.join(fig_dir, "fourier_derivative_comparison.png"),
        ↪ dpi=160, bbox_inches="tight")
    plt.close()

    # Convergence study
    N_list = [16, 32, 64, 128, 256, 512]
    recs = []
    for NN in N_list:
        xx = np.linspace(0, 2*np.pi, NN, endpoint=False)
        fxx = f_true(xx)
        d1 = spectral_derivative_periodic(fxx)
        d2 = spectral_second_derivative_periodic(fxx)
        d1_ex = df_true(xx)
        d2_ex = d2f_true(xx)
        l2_d1 = np.sqrt(np.mean((d1 - d1_ex)**2))
        linf_d1 = np.max(np.abs(d1 - d1_ex))
        l2_d2 = np.sqrt(np.mean((d2 - d2_ex)**2))
        linf_d2 = np.max(np.abs(d2 - d2_ex))
        recs.append(dict(N=NN, L2_err_d1=l2_d1, Linf_err_d1=linf_d1,
            ↪ L2_err_d2=l2_d2, Linf_err_d2=linf_d2))

    import pandas as pd
    df = pd.DataFrame(recs).sort_values("N")
    df.to_csv(os.path.join(tab_dir, "fourier_errors.csv"), index=False)

    plt.figure()
    plt.loglog(df["N"], df["Linf_err_d1"], 'o-', label="|erro| f'")

```

```

plt.loglog(df["N"], df["L2_err_d1"], 's-', label="|erro|2 f'")
plt.loglog(df["N"], df["Linf_err_d2"], 'o--', label="|erro| f'")
plt.loglog(df["N"], df["L2_err_d2"], 's--', label="|erro|2 f'")
plt.xlabel("N (pontos)"); plt.ylabel("Erro"); plt.legend()
plt.savefig(os.path.join(fig_dir, "fourier_error_convergence.png"), dpi=160,
    ↪ bbox_inches="tight")
plt.close()

# Aliasing demo
def f_high(x):
    return np.sin(12*x)
N_small = 16
x_small = np.linspace(0, 2*np.pi, N_small, endpoint=False)
f_small = f_high(x_small)
x_dense = np.linspace(0, 2*np.pi, 2000, endpoint=False)
# Use FFT-based interpolant from under-sampled data
c = np.fft.fft(f_small) / N_small
k = np.fft.fftfreq(N_small, d=1.0/N_small)
phase = np.outer(k, x_dense)
f_rec = (c[:, None] * np.exp(1j * phase)).sum(axis=0).real

plt.figure()
plt.plot(x_dense, f_high(x_dense), label="Função verdadeira sin(12x)")
plt.plot(x_dense, f_rec, '--', label=f"Reconstrução com N={N_small}
    ↪ (aliased)")
plt.scatter(x_small, f_small, s=12, label="Amostras N=16")
plt.xlabel("x"); plt.ylabel("f(x)"); plt.legend()
plt.savefig(os.path.join(fig_dir, "fourier_aliasing_demo.png"), dpi=160,
    ↪ bbox_inches="tight")
plt.close()

```

---

### A.3.5 `legendre_orthogonality.py`

---

```

"""
Legendre orthogonality verification (PCS5029 - Aula 06 - Exercício 5)
Requirements: numpy, matplotlib
Notes:
- Quadrature uses numpy.polynomial.legendre.leggauss(N) with N=400.
- Saves figures under /figures and tables under /tables.
"""

import os
import numpy as np
import matplotlib.pyplot as plt
from numpy.polynomial.legendre import Legendre, leggauss
import pandas as pd

# Parameters
N_QUAD = 400
MAX_N_FOR_MATRIX = 10
MAX_N_FOR_PLOT = 5

```

```

BASE_DIR = "/mnt/data"
FIG_DIR = os.path.join(BASE_DIR, "figures")
TAB_DIR = os.path.join(BASE_DIR, "tables")
os.makedirs(FIG_DIR, exist_ok=True)
os.makedirs(TAB_DIR, exist_ok=True)

def legendre_basis(n: int) -> Legendre:
    return Legendre.basis(n)

def inner_product_matrix(n_max: int, Nq: int) -> np.ndarray:
    xi, wi = leggauss(Nq)
    Pvals = np.zeros((n_max+1, xi.size))
    for n in range(n_max+1):
        Pvals[n, :] = legendre_basis(n)(xi)
    G = np.zeros((n_max+1, n_max+1))
    for m in range(n_max+1):
        for n in range(n_max+1):
            G[m, n] = np.sum(wi * Pvals[m, :] * Pvals[n, :])
    return G

def main():
    # Compute Gram matrix
    G = inner_product_matrix(MAX_N_FOR_MATRIX, N_QUAD)
    theoretical_diag = np.array([2.0/(2*n+1) for n in
    ↪ range(MAX_N_FOR_MATRIX+1)])

    # Save tables
    G_df = pd.DataFrame(G, index=[f"P{m}" for m in range(MAX_N_FOR_MATRIX+1)],
        columns=[f"P{n}" for n in range(MAX_N_FOR_MATRIX+1)])
    G_df.to_csv(os.path.join(TAB_DIR, "legendre_orthogonality_matrix.csv"),
    ↪ float_format="%.12e")

    G_err_df = G_df.copy()
    for n in range(MAX_N_FOR_MATRIX+1):
        for m in range(MAX_N_FOR_MATRIX+1):
            target = 0.0 if m != n else theoretical_diag[n]
            G_err_df.iloc[m, n] = G_df.iloc[m, n] - target
    G_err_df.to_csv(os.path.join(TAB_DIR,
    ↪ "legendre_orthogonality_error_matrix.csv"), float_format="%.12e")

    pd.DataFrame({
        "n": np.arange(MAX_N_FOR_MATRIX+1),
        "theoretical_2_over_2n_plus_1": theoretical_diag,
        "numerical_diag": np.diag(G),
        "abs_error": np.abs(np.diag(G) - theoretical_diag)
    }).to_csv(os.path.join(TAB_DIR, "legendre_norms_comparison.csv"),
        index=False, float_format="%.12e")

    # Plot P0..P5
    x_plot = np.linspace(-1, 1, 1000)
    plt.figure()
    for n in range(MAX_N_FOR_PLOT+1):

```



```

plt.plot(x_plot, legendre_basis(n)(x_plot), label=fr"$P_{5}(x)$")
plt.xlabel("$x$")
plt.ylabel("$P_n(x)$")
plt.title("Legendre Polynomials $P_0$ to $P_5$")
plt.legend(loc="best", ncol=2, frameon=True)
plt.grid(True, which="both", linestyle=":")
plt.savefig(os.path.join(FIG_DIR, "legendre_polynomials.png"), dpi=200,
    ↪ bbox_inches="tight")
plt.close()

# Heatmap of G
plt.figure()
im = plt.imshow(G, origin="lower", extent=[-0.5, MAX_N_FOR_MATRIX+0.5, -0.5,
    ↪ MAX_N_FOR_MATRIX+0.5])
plt.colorbar(im, label=r"$\int_{-1}^1 P_m(x)P_n(x)\,dx$")
plt.xticks(range(0, MAX_N_FOR_MATRIX+1), [f"$P_n$" for n in
    ↪ range(MAX_N_FOR_MATRIX+1)], rotation=45)
plt.yticks(range(0, MAX_N_FOR_MATRIX+1), [f"$P_m$" for m in
    ↪ range(MAX_N_FOR_MATRIX+1)])
plt.title("Orthogonality Matrix for Legendre Polynomials")
plt.savefig(os.path.join(FIG_DIR, "legendre_orthogonality_matrix.png"),
    ↪ dpi=200, bbox_inches="tight")
plt.close()

if __name__ == "__main__":
    main()

```

---

### A.3.6 exercicio6\_bvp\_chebyshev.py

---

```

import os
import numpy as np
import pandas as pd
import matplotlib.pyplot as plt

BASE = "/mnt/data"
FIG_DIR = os.path.join(BASE, "figures")
TAB_DIR = os.path.join(BASE, "tables")

os.makedirs(FIG_DIR, exist_ok=True)
os.makedirs(TAB_DIR, exist_ok=True)

def cheb(n: int):
    if n == 0:
        return np.array([[0.0]]), np.array([1.0])
    x = np.cos(np.pi * np.arange(n + 1) / n)
    c = np.ones(n + 1); c[0] = 2.0; c[-1] = 2.0
    c = c * ((-1) ** np.arange(n + 1))
    X = np.tile(x, (n + 1, 1)); dX = X - X.T
    D = (np.outer(c, 1 / c)) / (dX + np.eye(n + 1))
    D = D - np.diag(np.sum(D, axis=1))

```

```

    return D, x

pi = np.pi
n = 31
N = n + 1

D_raw, x = cheb(n)
D1 = -D_raw          # sign correction so D1 acts like d/dx
D2 = D1 @ D1
I = np.eye(N)

f = -pi * np.sin(pi * x)
y_true = np.cos(pi * x)
L = D2 + D1 + (pi**2) * I

def impose_dirichlet(Lmat, rhs):
    A = Lmat.copy(); b = rhs.copy()
    A[-1,:] = 0.0; A[-1,-1] = 1.0; b[-1] = -1.0
    A[0,:] = 0.0; A[0,0] = 1.0; b[0] = -1.0
    return A, b

def impose_neumann(Lmat, rhs, D1):
    A = Lmat.copy(); b = rhs.copy()
    A[-1,:] = D1[-1,:]; b[-1] = 0.0
    A[0,:] = D1[0,:]; b[0] = 0.0
    return A, b

def impose_robin(Lmat, rhs, D1, alpha=1.0, beta=1.0, g=-1.0):
    A = Lmat.copy(); b = rhs.copy()
    A[-1,:] = alpha*np.eye(N)[-1,:] + beta*D1[-1,:]; b[-1] = g
    A[0,:] = alpha*np.eye(N)[0,:] + beta*D1[0,:]; b[0] = g
    return A, b

# Solve
A_dir,b_dir = impose_dirichlet(L, f)
y_dir = np.linalg.solve(A_dir, b_dir)

A_neu,b_neu = impose_neumann(L, f, D1)
y_neu = np.linalg.solve(A_neu, b_neu)

A_rob,b_rob = impose_robin(L, f, D1, 1.0, 1.0, -1.0)
y_rob = np.linalg.solve(A_rob, b_rob)

# Errors
err_dir = float(np.max(np.abs(y_dir - y_true)))
err_neu = float(np.max(np.abs(y_neu - y_true)))
err_rob = float(np.max(np.abs(y_rob - y_true)))

# Plots
sort_idx = np.argsort(x)
xs = x[sort_idx]

```

```

def save_plot(path, y_num, title):
    plt.figure()
    plt.plot(xs, y_true[sort_idx], linestyle="--", label="Analítica:  $\cos(\pi x)$ ")
    plt.plot(xs, y_num[sort_idx], label="Numérica")
    plt.xlabel("x"); plt.ylabel("y(x)")
    plt.title(title)
    plt.legend()
    plt.tight_layout()
    plt.savefig(path, dpi=150)
    plt.close()

save_plot(os.path.join(FIG_DIR, "y_dirichlet.png"), y_dir, "BVP com CC
↪ Dirichlet")
save_plot(os.path.join(FIG_DIR, "y_neumann.png"), y_neu, "BVP com CC Neumann")
save_plot(os.path.join(FIG_DIR, "y_robin.png"), y_rob, "BVP com CC Robin")

plt.figure()
plt.plot(xs, y_dir[sort_idx], label="Dirichlet")
plt.plot(xs, y_neu[sort_idx], label="Neumann")
plt.plot(xs, y_rob[sort_idx], label="Robin")
plt.xlabel("x"); plt.ylabel("y(x)")
plt.title("Comparação das soluções numéricas (Dirichlet, Neumann, Robin)")
plt.legend()
plt.tight_layout()
plt.savefig(os.path.join(FIG_DIR, "y_comparison.png"), dpi=150)
plt.close()

# Table (CSV)
errors_df = pd.DataFrame({
    "Condicao_de_Contorno": ["Dirichlet", "Neumann", "Robin"],
    "n": [n, n, n],
    "Max_erro_infinito": [err_dir, err_neu, err_rob]
})
errors_df.to_csv(os.path.join(TAB_DIR, "ex6_max_errors.csv"), index=False)

print("Done. Figures in", FIG_DIR, "Tables in", TAB_DIR, "Errors:", err_dir,
↪ err_neu, err_rob)

```

---

## A.4 A.4 Observações finais sobre o ambiente

- Todos os scripts foram testados em ambiente Python 3.12.10 sob Linux e WSL2;
- As figuras foram geradas automaticamente nas pastas /figures e /tables;
- As execuções típicas consomem poucos segundos e menos de 1 GB de memória;
- As bibliotecas utilizadas são totalmente open source.

**Nota:** Este apêndice é parte integrante do relatório, servindo para garantir a reprodutibilidade dos resultados apresentados nas seções principais.

## B Declaração de uso de LLM

Foi utilizado um assistente LLM (ChatGPT) para apoiar a organização do relatório, revisão textual e geração de trechos de código e figuras, sempre com validação final do autor.